トランスファーモールド SiC-MOSFET パワーモジュールの高温スイッチング試験

High Temperature Switching Test of SiC-MOSFET Half-Bridge Power Modules installed in In-Wheel Motor

○谷本 智 ^{1,3}, 山下 真理 ¹, 児嶋 伸夫 ¹, 鈴木 達広 ¹, 荒木 祥和 ¹, 佐藤 伸二 ², 赤津 観 ³

¹ 日産アーク・パワーエレクトロニクス解析室, ² 産総研・ADPERC, ³ 芝浦工大・SIT 総研
^o Satoshi Tanimoto, ^{1,3} Mari Yamashita, ¹ Nobuo Kojima, ¹ Tatsuhiro Suzuki, ¹
Sawa Araki, ¹ Shinji Sato ² and Kan Akatsu ³

PEAL-DAD, NISSAN ARC, Ltd., ¹ ADPERC, AIST, ² SIT Laboratories, Shibaura Inst. Tech. ³ E-mail: s-tanimoto@nissan-arc.co.jp

1. 概要: この度、NEDO-SIP 機電一体 EV インホイールモータ (IWM) 内部に組み込むトランスファーモールド超小型 SiC-MOSFET ハーフブリッジパワーモジュール (HBPM) 試作品の高温スイッチング (SW) 試験を実施したところ、最大目標ケース温度 $T_C = 200^{\circ}$ Cまで極めて安定に turn-on, turn-off できること確認したので報告する。 試験はダブルパルス試験であって、典型的な SW 条件は 600 V, 105~115A であった。 使用状況では起りえないより過酷な条件: $T_C = 250^{\circ}$ C, 600 V, 150 A での SW も達成した。

2. 実験: 実験サンプルは IWM 搭載用に日産アークで内製した HBPM 群の中から任意に選んだ 1

個である。モジュールの上下アームそれぞれには定格 DC1200 V, 150 A の SiC-MOSFET (国内半導体メーカ 製) 1 個が置かれ、還流ダイオード FRD はない。このため、同期整流駆動方式で SW が行われた。HBPM の構成及び室温での SW 試験の結果は文献[1,2]などで報告している。高温ダブルパルス試験は産総研で実施した。Fig. 1 に示すように、HBPM (中継 PCB の下に隠れている) は所定の $T_{\rm C}$ に昇温したホットプレートの上に直接置き、下アームの MOSFET を SW した。オシロスコープでドレイン電圧 $V_{\rm DS2}$ 、ゲート電圧 $V_{\rm GS2}$ 、負荷電流 $I_{\rm L}$ 波形を記録した。ドレイン電流 $I_{\rm D2}$ の測定は行っていない。

3. 結果: $T_C = 50$ °Cからスタートして、50°C刻みで温度上昇させて、最大 250°Cまで SW 試験を実行した。 Fig. 2 は最大目標温度 $T_C = 200$ °Cときの SW 波形である。本HBPM においては、このような高い温度でも理想的なSW が行われているのがわかる。 2 発目の電圧パルスの時間軸を引き伸ばして、 V_{DS2} の値が $90\% \rightarrow 10\%$ 、 $10\% \rightarrow 90\%$ に遷移する時間をここではターンオン時間 t_{ON} 、ターンオフ時間 t_{OFF} と定義することにすると、200°Cでは $t_{ON} = 65$ ns、 $t_{OFF} = 57$ ns (Fig. 2b)であった。

200°Cで安定した SW が観察されたことから、 $I_L = 150$ A に上げ、封止樹脂のガラス転移温度を上回る温度 $T_C = 250$ °Cで SW 試験を実行したところ、同様に安定した SW が観察された。 $t_{ON} = 68$ ns、 $t_{OFF} = 67$ ns であった。 【謝辞】本研究の一部は NEDO-SIP プログラム (大森達夫 PD) の一環として実施された。封止樹脂をご提供いただいたパナソニック AIS 社、浅野卓也氏に深謝する。 【文献】 [1] 谷本,エポキシ樹脂技術協会、46 期第 3 回特別講演会 (2018 年 12 月 12 日、市ケ谷) 予稿集. [2] 谷本,応用物理学会 ADPS 第 5 回講演会 (2018年 11 月 6 日、京都)会誌、Vol. 5-1 (2018)、pp. 181-182.

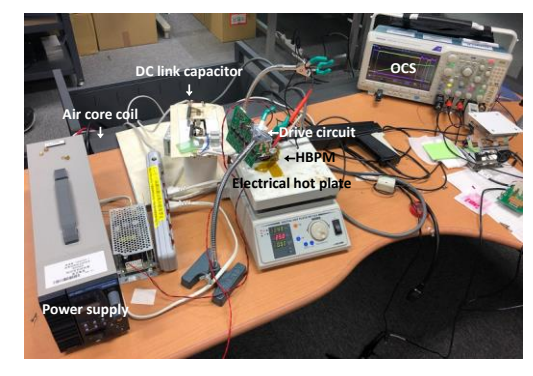
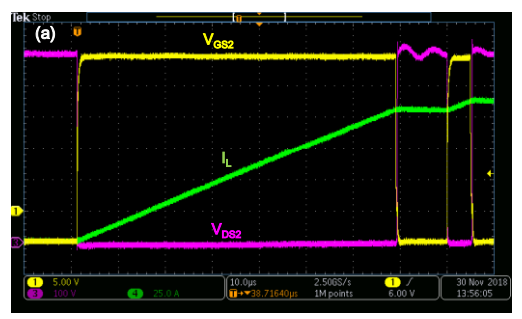


Fig. 1 Double pulse switching test apparatus just when tested at $T_C = 250^{\circ}C$



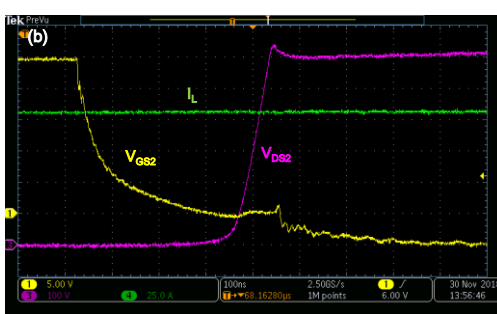


Fig. 2 Double pulse switching waveform for $V_{DS2}=600~V$ and $I_L=105{\sim}115~A$ at $T_C=200~C$: (a) entire region and (b) turn-off transient